



UNIVERSITÄTS-  
BIBLIOTHEK  
PADERBORN

## **Die Statik im Stahlbetonbau**

**Beyer, Kurt**

**Berlin [u.a.], 1956**

Zahlenbeispiele

---

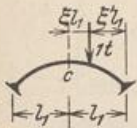
[urn:nbn:de:hbz:466:1-74292](https://nbn-resolving.org/urn:nbn:de:hbz:466:1-74292)

b) Bogenform mit  $\frac{J_c}{J \cos \alpha} = 1$ .

$$\eta_0 = 1 - \frac{\gamma_{2,0}}{f}, \quad \gamma_{2,0} = y_s^* \left( \frac{\sin c}{c} - 1 \right); \quad y = y_s^* \left( \frac{\sin c}{c} - \cos \xi c \right).$$

$$\delta_{11} = l_1 y_s^{*2} (1 + \nu) \left[ 1 + \frac{\sin c}{c} \cos c - 2 \left( \frac{\sin c}{c} \right)^2 \right]; \quad \delta_{22} = \frac{2}{3} l_1; \quad \delta_{33} = 2 l_1.$$

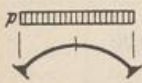
Gleichungen der Einflußlinien:



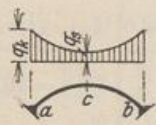
$$X_1 = \frac{y_s^*}{2} \left( \frac{l_1}{c} \right)^2 \frac{1}{\delta_{11}} \left[ \left( c^2 \frac{\sin c}{c} - 2 \cos c \right) - \left( (\xi c)^2 \frac{\sin c}{c} - 2 \cos \xi c \right) \right];$$

$$X_2 = -\frac{l_1}{4} \xi (1 - \xi^2) = -\frac{l_1}{4} \omega_D; \quad X_3 = \frac{l_1}{4} (1 - \xi^2).$$

Besondere Belastungsfälle:



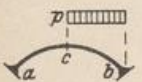
$$X_2 = 0; \quad X_3 = \frac{p l_1^2}{3};$$



$$H_a = \frac{q_a}{y_s^*} \left( \frac{l_1}{c} \right)^2;$$

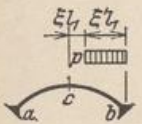
$$M = \frac{\nu}{1 + \nu} H_a \cdot y;$$

$$X_1 = y_s^* p l_1 \left( \frac{l_1}{c} \right)^2 \frac{2}{\delta_{11}} \left[ \left( 1 + \frac{c^2}{3} \right) \frac{\sin c}{c} - \cos c \right]. \quad N \approx -\frac{1}{\cos \alpha} \frac{H_a}{1 + \nu} \text{ (s. unter a).}$$



$$X_1 = y_s^* p l_1 \left( \frac{l_1}{c} \right)^2 \frac{1}{\delta_{11}} \left[ \left( 1 + \frac{c^2}{3} \right) \frac{\sin c}{c} - \cos c \right];$$

$$X_2 = -\frac{p l_1^2}{16}; \quad X_3 = \frac{p l_1^2}{6}.$$



$$X_1 = y_s^* p l_1 \left( \frac{l_1}{c} \right)^2 \frac{1}{\delta_{11}} \times \left[ \left( 1 + \frac{c^2}{3} \right) \frac{\sin c}{c} - \cos c - \frac{\sin \xi c - \xi c \cos c}{c} + \frac{c^2}{6} \xi (\xi^2 - 3) \frac{\sin c}{c} \right];$$

$$X_2 = -\frac{p l_1^2}{16} (1 - \xi^2)^2; \quad X_3 = \frac{p l_1^2}{12} \xi^2 (3 - \xi^2).$$

Temperaturänderung und Stützensenkung wie unter 1, a) S. 530.

Statische Untersuchung eines beiderseits eingespannten Gewölbes (Abb. 517) mit parabolisch gekrümmter Mittellinie und verschiedenen Annahmen über die Bogenform als Beispiel für die Anwendung der Tabelle 42 S. 529 ff.

$$y_1 = f(1 - \xi^2).$$

Der Querschnitt ist nach S. 510 bestimmt durch

$$J_c / J \cos \alpha = 1 - (1 - n) \xi^{2r}.$$

Die Untersuchung wird durchgeführt für

$$n = J_c / J_k \cos \alpha_k = 0$$

und veränderliches  $r$  ( $r = 1, 2, 3$  und  $\infty$ ).  $r = \infty$

liefert mit  $J_c / J \cos \alpha = 1$  dieselbe Bogenform

wie  $n = 1$ . Die geometrische Bedeutung der

Annahmen für die Bogenform zeigt Abb. 486 S. 510. Die Zahlenrechnung nach S. 529 wird für

$r = 2$  angegeben, im übrigen auf die Mitteilung der Ergebnisse beschränkt.

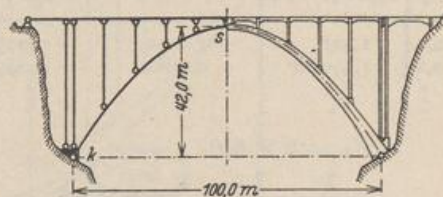


Abb. 517.



1. Geometrische Grundlagen.  $l = 2l_1 = 100,0$  m;  $f = 42,0$  m.

$$F_s = F_c = 2,1 \text{ m}^2; \quad J_s = J_c = 0,772 \text{ m}^4; \quad J_c/J \cos \alpha = 1 - \xi^2 r.$$

2. Hauptsystem nach S. 529: Balken auf 2 Stützen (Abb. 513)

$$\eta_{1,0} = \frac{2}{3} \frac{4+2r}{3+2r}; \quad \eta_{2,0} = \frac{1}{3} \frac{1+2r}{3+2r};$$

$r =$	1	2	3	$\infty$
$\eta_{1,0} =$	0,800	0,762	0,741	0,666
$\eta_{2,0} =$	0,200	0,238	0,259	0,333

3. Vorzahlen für  $r = 2$  nach S. 529

$$k = \left[ \frac{8}{15} - \frac{8}{(1+2r)(3+2r)(5+2r)} - \eta_{1,0}^2 \left( 1 - \frac{1}{1+2r} \right) \right] = \frac{8}{15} - \frac{8}{5 \cdot 7 \cdot 9} - 0,762^2 \left( 1 - \frac{1}{5} \right)$$

$$= 0,04342; \quad r = \frac{0,772}{2,1} \frac{1}{42,0^2 k} = 0,004800;$$

$$\delta_{11} = 100,0 \cdot 42,0^2 (1+r) k = 7695,98;$$

$$\delta_{22} = 100,0 \cdot \left[ \frac{1}{3} - \frac{1}{7} \right] = 19,0476; \quad \delta_{33} = 100,0 \left[ 1 - \frac{1}{5} \right] = 80,00.$$

$r =$	1	2	3	$\infty$
$k =$	0,03047	0,04342	0,05115	0,08889
$r =$	0,006840	0,004800	0,004074	0,002345
$\delta_{11} =$	5411,60	7695,98	9059,55	15716,89
$\delta_{22} =$	13,3333	19,0476	22,2222	33,3333
$\delta_{33} =$	66,6667	80,0000	85,7143	100,000

4. Einflußlinien der überzähligen Größen für  $r = 2$ .

a)  $X_1$  nach S. 530 mit  $\eta_{2,0} = 0,238$ ;  $6\eta_{2,0} = 1,428$ .

$$\frac{6\eta_{2,0}}{(1+2r)(1+r)} = 0,0952,$$

$$\frac{6}{(3+2r)(2+r)} = 0,21429.$$

$$X_1 = \frac{l_1^2 f}{12 \delta_{11}} \cdot K_1 = 1,13696 \cdot K_1,$$

$\xi^2, \xi^4$  vgl. Tab. 22 S. 116.

$\xi$	$\xi^2$	$\xi^4$	$\xi^6$	$\xi^8$	$1 - \xi^2$	$1 - \xi^4$	$1 - \xi^6$	$1 - \xi^8$
0,0	0,0	0,0	0,0	0,0	1,0	1,0	1,0	1,0
0,2	0,04	0,0016	0,00006	0,00000	0,96	0,9984	0,99994	1,000000
$\vdots$	$\vdots$	$\vdots$	$\vdots$	$\vdots$	$\vdots$	$\vdots$	$\vdots$	$\vdots$

$\xi$	$1,428(1 - \xi^2)$	$-(1 - \xi^4)$	$-0,0952(1 - \xi^6)$	$+0,21429(1 - \xi^8)$	$\{\Sigma\} = K_1$	$X_1 = 1,137 \cdot K_1$
0,0	1,428	-1,0000	-0,09520	0,21429	0,54709	0,62201
0,2	1,37088	-0,9984	-0,09519	0,21429	0,49157	0,55890
$\vdots$	$\vdots$	$\vdots$	$\vdots$	$\vdots$	$\vdots$	$\vdots$

b)  $X_2$  nach S. 530

$$\frac{3}{3+2r} \frac{1}{1+r} = \frac{1}{7} = 0,14286,$$

$$X_2 = -\frac{l_1^2}{6 \delta_{22}} \xi \cdot K_2 = -21,875 \cdot K_2 \cdot \xi.$$

c)  $X_3$  nach S. 530

$$\frac{1}{1+2r} \frac{1}{1+r} = \frac{1}{15} = 0,06667,$$

$$X_3 = +\frac{l_1^2}{2 \delta_{33}} \cdot K_3 = 15,625 \cdot K_3.$$



$\xi$	$1 - \xi^2$	$-0,14285 (1 - \xi^6)$	$[\Sigma] = K_2$	$K_2 \cdot \xi$	$X_2 = -21,875 \cdot K \cdot \xi$
0,0	1,00	- 0,14286	0,85714	0,00000	- 0,0000
0,2	0,96	- 0,14285	0,81715	0,16343	- 3,5750
⋮	⋮	⋮	⋮	⋮	⋮

$\xi$	$1 - \xi^2$	$-0,06667 (1 - \xi^6)$	$[\Sigma] = K_3$	$X_3 = 15,625 \cdot K_3$
0,0	1,00	- 0,06667	0,93333	14,583
0,2	0,96	- 0,06666	0,89334	13,958
⋮	⋮	⋮	⋮	⋮

Ergebnisse für die Abb. 518

$\xi$	$X_1$ [t]			$X_2$ [mt]			$X_3$ [mt]		
	$r = 1$	$r = 2$	$r = \infty$	$r = 1$	$r = 2$	$r = \infty$	$r = 1$	$r = 2$	$r = \infty$
0,0	0,647	0,622	0,557	- 0,00	- 0,00	- 0,00	15,63	14,58	12,50
0,2	0,572	0,559	0,513	- 4,13	- 3,58	- 2,40	14,88	13,96	12,00
0,4	0,383	0,392	0,393	- 6,85	- 6,11	- 4,20	12,71	12,09	10,50
0,6	0,170	0,186	0,228	- 7,10	- 6,61	- 4,80	9,28	9,01	8,00
0,8	0,030	0,036	0,072	- 4,57	- 4,46	- 3,60	4,91	4,86	4,50
1,0	0,000	0,000	0,000	- 0,00	- 0,00	- 0,00	0,00	0,00	0,00

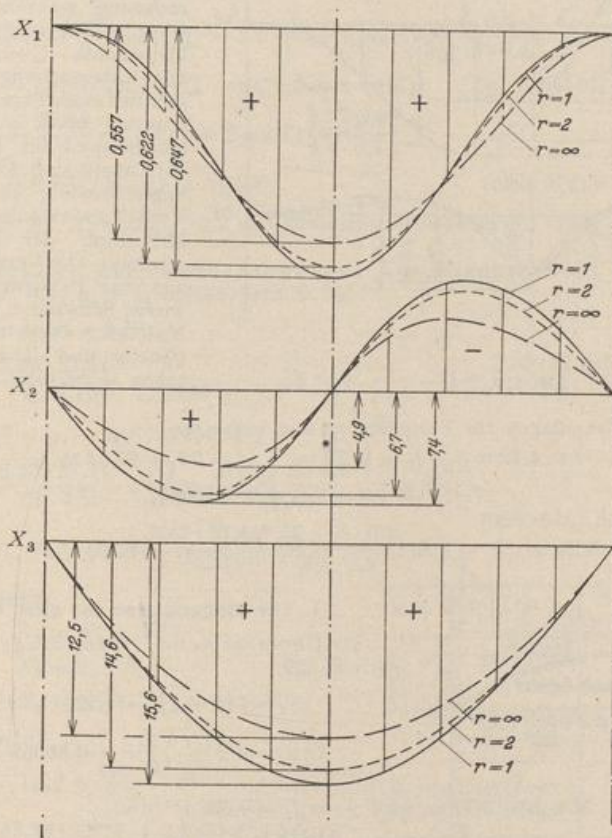


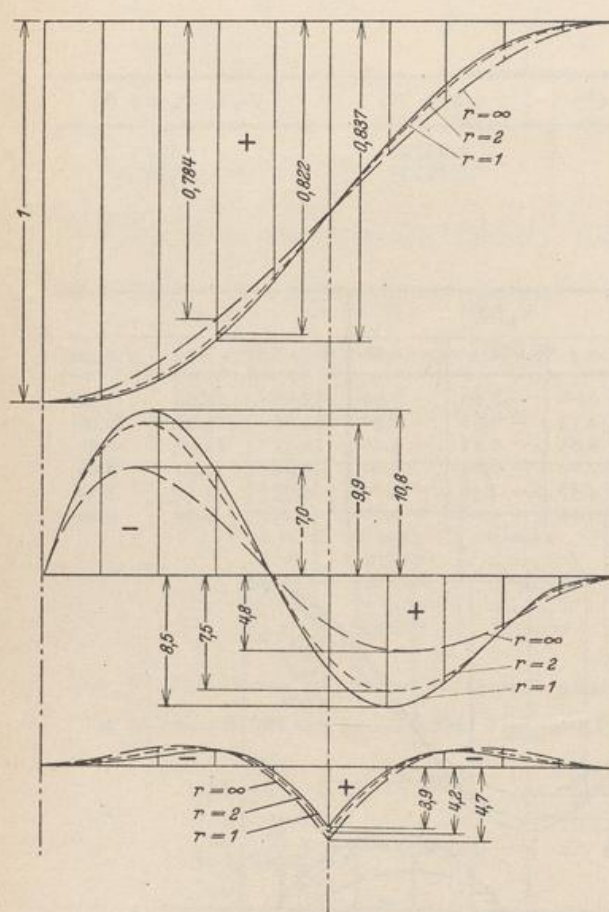
Abb. 518.



5. Einflußlinien der Stützkraft  $A$  und der Biegemomente im Kämpfer und Scheitel (Abb. 519).

$$A = A_0 + X_2/l_1 = A_0 + X_2/50,0.$$

$$M_a = X_1 \cdot y_{1,0} - X_2 - X_3; \quad M_c = M_{c0} - X_1 y_{2,0} - X_3.$$



**A Schnittkräfte und Randspannungen eines symmetrischen Bogenträgers als Funktion der Bogenform.**

Um den Spannungszustand eines Bogenträgers als Funktion einer mathematisch beschriebenen Mittellinie und Querschnittsänderung zu studieren, werden sechs Träger untersucht, von denen drei nach der quadratischen Parabel, drei andere nach der Kettenlinie gekrümmt sind, die mit großer Annäherung als Stützlinie für Eigengewicht angesehen werden kann. Das Verhältnis

$$n = J_c/J_k \cos \alpha_k$$

(S. 509) wird mit 0,4, 1,0 und 1,29 gewählt. Das Verhältnis  $n = 0,4$  ist bei zahlreichen Bauwerken eingehalten, das Verhältnis  $n = 1,0$  vereinfacht die Zahlenrechnung, während  $n = 1,29$  für  $f/l \approx 1/5$  Bogenträger mit gleichbleibendem Querschnitt liefert. Die Untersuchung des Bogenträgers mit einer Parabel oder Kettenlinie als Achse und  $n = 0,4$  wird als Beispiel für die Anwendung der Tabelle 42 S. 529 ff. ausführlich angeschrieben, für die anderen Verhältniszahlen  $n$  jedoch auf die Mitteilung der Ergebnisse beschränkt. Der Vergleich stützt sich auf eine Belastung aus Eigengewicht, Schwinden und halbseitiger Nutzlast. Diese ist relativ ungünstig und daher zur summarischen Bewertung geeignet.

Abb. 519.

Gemeinsame Grundlagen für Formgebung und Belastung.

$$f = 4,12 \text{ m}, \quad l_1 = 13,72 \text{ m}, \quad l = 2l_1 = 27,44 \text{ m},$$

$$d_c = 0,52 \text{ m}, \quad J_c = 0,0118 \text{ m}^4.$$

Belastungsordinaten (Abb. 520)

$$\text{Scheitel: } q_s = 2,55 \text{ t/m}^2; \quad \text{Kämpfer: } q_k = 11,02 \text{ t/m}^2.$$

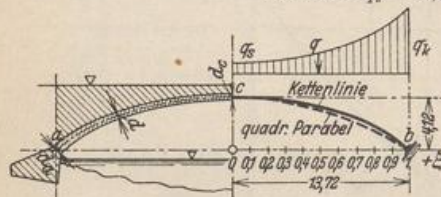


Abb. 520.

$$\cos \alpha_a = 0,8562.$$

Mit  $d_a = 0,77 \text{ m}$  wird  $J_a = J_b = 0,038 \text{ m}^4$  und

$$n = \frac{J_c}{J_a \cos \alpha_a} = \frac{0,0118}{0,038 \cdot 0,8562} = 0,36 \approx 0,4.$$

**I. Die Bogenachse ist eine Parabel.**

1. Geometrische Grundlagen (Abb. 513) nach S. 529.

$$y_1 = f(1 - \xi^2) = 4,12(1 - \xi^2);$$

$$\text{tg } \alpha = -2 \left( \frac{f}{l_1} \right) \xi = -0,60058 \xi;$$



Approximation des Querschnittes (Abb. 486) nach Tab. 42, 1, b:  $J_c/J \cos \alpha = 1 - 0,6 \xi^2$ .

Hieraus Gewölbbestärken  $d$  (Abb. 520), Querschnitte  $F$  und Widerstandsmomente  $W$ .

2. Hauptsystem nach S. 529 Balken auf 2 Stützen (Abb. 513).

$$\eta_{1,0} = \frac{2 \cdot 4 + 0,4}{5 \cdot 2 + 0,4}$$

$$y = y_1 - y_{1,0}$$

$n =$	0,4	1,0	1,29
$\eta_{1,0} =$	0,73333	0,66667	0,64316
$y_{1,0} =$	3,02132	2,74668	2,64982

3. Vorzahlen nach S. 531. Bogenträger  $n = 0,4$ ;  $F_c = 0,52 \text{ m}^2$ ;  $f^2 = 16,9744$ :

$$v = \frac{175}{4} \frac{0,0118}{0,52 \cdot 16,9744} \frac{2 + 0,4}{0,4(8 + 0,4) + 8/3} = 0,02329;$$

$$\delta_{11} = \frac{4}{175} \cdot 27,44 \cdot 16,9744 \cdot 1,02329 \frac{0,4(8 + 0,4) + 8/3}{2 + 0,4}$$

$$\delta_{22} = \frac{1}{15} 27,44 (2 + 3 \cdot 0,4);$$

$$\delta_{33} = \frac{1}{3} 27,44 (2 + 0,4).$$

$n =$	0,4	1,0	1,29
$v =$	0,02329	0,01504	0,01313
$\delta_{11} =$	27,35682	42,02512	48,03193
$\delta_{22} =$	5,85387	9,14667	10,73819
$\delta_{33} =$	21,95200	27,44000	30,09253

4. Einflußlinien der überzähligen Größen nach S. 531. Bogenträger  $n = 0,4$ :

$$X_1 = \frac{35}{4} \frac{27,44}{4,12} \omega_R^2(\zeta) \frac{3 \cdot 0,4(4 + 0,4) + 8(1 - 0,4)(2 + 0,4) \omega_R(\zeta)}{[3 \cdot 0,4(8 + 0,4) + 8] \cdot 1,02329}$$

$$= 16,63150 \omega_R^2(\zeta) + 36,28690 \omega_R(\zeta) \quad (\text{Abb. 524a});$$

$$X_2 = -\frac{27,44}{2} \omega_R(\zeta) (1 - 2\zeta') \left[ 1 + 6 \omega_R(\zeta) \frac{1 - 0,4}{2 + 3 \cdot 0,4} \right]$$

$$= -1,715 \omega_R(\zeta) (1 - 2\zeta') [8 + 9 \omega_R(\zeta)] \quad (\text{Abb. 524b});$$

$$X_3 = \frac{27,44}{2} \omega_R(\zeta) \left[ 1 + 2 \omega_R(\zeta) \frac{1 - 0,4}{2 + 0,4} \right]$$

$$= 6,86 [2 \omega_R(\zeta) + \omega_R^2(\zeta)] \quad (\text{Abb. 524c}).$$

Die Einflußlinien  $X_1$ ,  $X_2$  und  $X_3$  für  $n = 1,29$  unterscheiden sich nur wenig von den Ergebnissen für  $n = 1,0$ .

5. Schnittkräfte und Randspannungen aus Eigengewicht.

Bogenträger  $n = 0,4$ ;  $q_k - q_s = 8,47$  nach S. 531:

a)  $p = \text{const} = q_s = 2,55$ :

$$X'_1 = \frac{2,55 \cdot 27,44^2}{8 \cdot 4,12} \frac{1}{1,02329}; \quad X'_2 = 0; \quad X'_3 = \frac{2,55 \cdot 27,44^2}{20} \frac{4 + 0,4}{2 + 0,4}$$

b)  $p\xi = p\xi^2 = (q_k - q_s)\xi^2 = 8,47\xi^2$ :

$$X''_1 = \frac{8,47 \cdot 27,44^2}{72 \cdot 4,12} \frac{1}{1,02329} \frac{8(1 + 4 \cdot 0,4 + 5 \cdot 0,16)}{3 \cdot 0,4(8 + 0,4) + 8}$$

$$X''_2 = 0; \quad X''_3 = \frac{8,47 \cdot 27,44^2}{420} \frac{16 + 5 \cdot 0,4}{2 + 0,4}$$

c) Hieraus folgt:

$$X_1 = X'_1 + X''_1;$$

$$X_2 = 0;$$

$$X_3 = X'_3 + X''_3.$$

d) Längskräfte:

$$V_0 = l_1 \left[ q_s \xi + \frac{q_k - q_s}{3} \xi^3 \right]$$

$$= 13,72 [2,55 \xi + 2,8233 \xi^3];$$

$$N = -[V_0 \sin \alpha + X_1 \cos \alpha] \quad (\text{Abb. 523}).$$

$n =$	0,4	1,0	1,29
$X'_1 =$	56,9277	57,3903	57,4984
$X''_1 =$	25,1003	27,2322	27,8100
$X_1 =$	82,0280	84,6225	85,3084
$X'_3 =$	176,0025	160,0028	154,3612
$X''_3 =$	113,8842	106,2919	103,6150
$X_3 =$	289,8867	266,2947	257,9762



e) Momente:

$$M_0 = \frac{l_1^3}{12} [q_k + 5 q_s - 6 q_s \xi^2 - (q_k - q_s) \xi^4]$$

$$= 372,8688 - 240,0039 \xi^2 - 132,8649 \xi^4;$$

$$M = M_0 - X_1 y - X_3 \quad (\text{Abb. 525}).$$

f) Um die Bauwürdigkeit der drei Gewölbe miteinander zu vergleichen, werden die Randspannungen  $\sigma = \frac{N}{F} \pm \frac{M}{W}$  (Abb. 527) für den homogenen Querschnitt angegeben, wenn auch  $\sigma_{bz} > 5 \text{ kg/cm}^2$ .

6. Schnittkräfte aus einseitiger Verkehrslast  $p = 1,0 \text{ t/m}^2$ . Bogenträger  $n = 0,4$ :

a) Überzählige Größen:  $X_1 = 1,0 \frac{27,44^2}{16 \cdot 4,12} \frac{1}{1,02329};$

$$X_2 = -1,0 \frac{27,44^2}{64} \frac{3 + 2 \cdot 0,4}{2 + 3 \cdot 0,4}; \quad X_3 = 1,0 \frac{27,44^2}{40} \frac{4 + 0,4}{2 + 0,4};$$

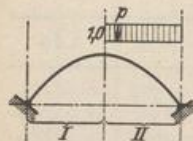


Abb. 521.

n =	0,4	1,0	1,29
$X_1 =$	11,1623	11,2530	11,2742
$X_2 =$	-13,9708	-11,7649	-11,1837
$X_3 =$	34,5103	31,3731	30,26669

b) Längskräfte:

$$A_0 = \frac{p l_1}{4} = 3,43; \quad V_{0I} = A_0; \quad V_{0II} = A_0 (1 - 4 \xi).$$

$$N = -[V_0 \sin \alpha + X_1 \cos \alpha + X_2/l_1 \sin \alpha] \quad (\text{Abb. 523}).$$

c) Momente:

$$M_{0I} = A l_1 (1 + \xi); \quad M_{0II} = A l_1 (1 + \xi - 2 \xi^2).$$

$$M = M_0 - X_1 y + X_2 \xi - X_3 \quad (\text{Abb. 526}).$$

7. Schnittkräfte aus Schwinden ( $t = -15^\circ$ ).

Bogenträger  $n = 0,4$ :  $\alpha_t = 0,00001$ ,  $E = 2100000 \text{ t/m}^2$ .

a)  $\delta_{1t} = -2100000 \cdot 0,011815 \cdot 0,00001 \cdot 27,44 = -101,99448;$

n =	0,4	1,0	1,29
$X_{1t}$	-3,72830	-2,42699	-2,12347

$$X_{2t} = X_{3t} = 0.$$

b) Längskräfte:

$$N_t = -X_{1t} \cos \alpha \quad (\text{Abb. 523});$$

c) Momente:

$$M_t = -X_{1t} \cdot y \quad (\text{Abb. 525}).$$

8. Schnittkräfte und Randspannungen aus Eigengewicht, halbseitiger Verkehrslast und Schwinden.

Momente: Abb. 528; Randspannungen: Abb. 529.

## II. Die Bogenachse ist eine Kettenlinie.

1. Geometrische Grundlagen (Abb. 516 S. 533)

$$\text{Cof } c = \kappa = \frac{q_k}{q_s} = 4,32, \quad c = \text{Ar Cof } \kappa = 2,14273, \quad y_s^* = \frac{l}{\kappa - 1} = 1,241.$$

$$y_2 = 1,241 (\text{Cof } 2,14273 \xi - 1).$$

$$\text{Sin } c = \sqrt{\kappa^2 - 1} = 4,20267, \quad \text{tg } \alpha = -\frac{c}{l_1} y_s^* \text{Sin } \xi c = -0,19382 \text{ Sin } \xi c.$$

$$\cos \alpha_a = 0,77534. \quad \text{Mit } d_a = 0,77 \text{ m wird } J_a = J_b = 0,038 \text{ m}^4 \text{ und}$$

$$n = \frac{J_c}{J_a \cdot \cos \alpha_a} = \frac{0,0118}{0,038 \cdot 0,77534} = 0,4.$$



Approximation des Querschnitts nach S. 534 mit:

$$\mu = \frac{4,32 - 0,4}{4,32 - 1} = 1,18072, \quad \varphi = \frac{1,18072 - 1}{1,18072} = 0,15306,$$

$$\frac{J_c}{J \cos \alpha} = 1,18072 (1 - 0,15306 \cos 2,14273 \xi).$$

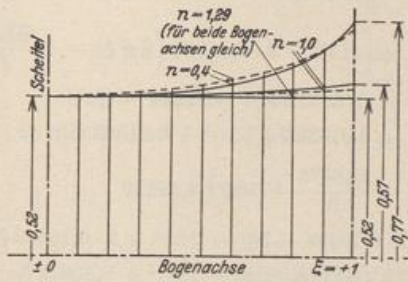
Hieraus Gewölbbestärken  $d$  (Abb. 522), Querschnitte  $F$  und Widerstandsmomente  $W$ .

Zahlen für die Ansätze nach Tabelle 42, 3 S. 533:

$$y_a^* = 1,540, \quad c^2 = 4,59129, \quad (l_1/c)^2 = 40,999,$$

$$\cos c = 4,32, \quad \cos^2 c = 18,6624, \quad \cos 2c = 36,32531,$$

$$\sin c = 4,20267, \quad \frac{\sin c}{c} = 1,96136, \quad \frac{\sin 2c}{2c} = 8,47320.$$



Die Bogenachse ist eine Kettenlinie  
Die Bogenachse ist eine quadr. Parabel  
Abb. 522. Gewölbbestärken  $d$ .

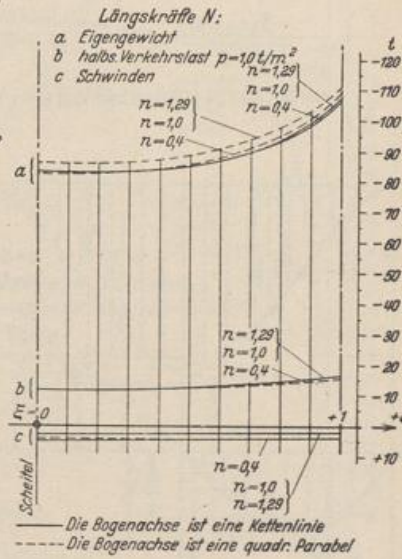


Abb. 523.

2. Hauptsystem nach S. 533 Balken auf 2 Stützen (Abb. 516)

$$y_{2,0} = 1,241 \frac{(1 + 0,15306)(1,96136 - 1) - \frac{0,15306}{2}(1,96136 \cdot 4,32 - 1)}{1 - 0,15306 \cdot 1,96136},$$

$$y_{2,0} = 0,95158, \quad y_{1,0} = 4,12 - 0,951581 = 3,168419,$$

$$\psi = 1 + \frac{0,951581}{1,241} = 1,766786, \quad \begin{cases} \varphi \psi = 0,270424, \\ \psi^2 = 3,121533, \end{cases}$$

$y = y_{2,0} - y_2,$	$n =$	0,4	1,0	1,29
	$y_{2,0} =$	0,95158	1,19305	1,28204

3. Vorzahlen. Die Ergebnisse  $v$  aus I, 3 können mit hinreichender Genauigkeit für die Achse nach einer Kettenlinie verwendet werden.  $n = 0,4$  ergab  $v = 0,02329$ , somit:

$$\delta_{11} = 2 \cdot 1,18072 \cdot 13,72 \cdot 1,54 \cdot 1,02329 \left[ 3,12153 - 2 \cdot 1,76679 \left( 1 + \frac{0,27042}{2} \right) 1,19136 \right. \\ \left. + \frac{1}{2} (1 + 2 \cdot 0,27042) (1,96136 \cdot 4,32 + 1) - \frac{0,15306}{3} 1,96136 (2 + 18,6624) \right] = 24,73071,$$

$$\delta_{22} = \frac{2}{3} 1,18072 \cdot 13,72 \left\{ 1 - 3 \cdot 0,15306 \left[ 1,96136 + \frac{2}{4,59129} (1,96136 - 4,22) \right] \right\} = 6,16833,$$

$$\delta_{33} = 2 \cdot 1,18072 \cdot 13,72 (1 - 0,15306 \cdot 1,96136) = 22,67247.$$

$n =$	0,4	1,0	1,29
$\delta_{11} =$	24,73071	38,15818	43,77720
$\delta_{22} =$	6,16833	9,14667	10,58675
$\delta_{33} =$	22,67247	27,44000	29,74524



4. Einflußlinien der überzähligen Größen. Biegelinie des Bogenträgers  $n = 0,4$ :

$$\begin{aligned} \delta_{m1} &= \frac{1,18072}{2} \cdot 1,241 \cdot 40,999 \left\{ \left[ 4,59129 \left( 1,76679 + \frac{0,15306}{2} \right) \right. \right. \\ &\quad \left. \left. - 2 \left( 1 + 0,270424 \right) 4,32 + \frac{0,15306}{4} 36,32531 \right] - \left[ \left( 1,76679 \right. \right. \right. \\ &\quad \left. \left. \left. + \frac{0,15306}{2} \right) (\xi c)^2 - 2 \left( 1 + 0,27042 \right) \mathfrak{Cof}(\xi c) + \frac{0,15306}{4} \mathfrak{Cof}(2\xi c) \right] \right\} \\ &= 30,03738 \{ [2,540848 \mathfrak{Cof}(\xi c) - 0,038265 \mathfrak{Cof}(2\xi c) - 1,84332 (\xi c)^2 - 1,12325], \end{aligned}$$

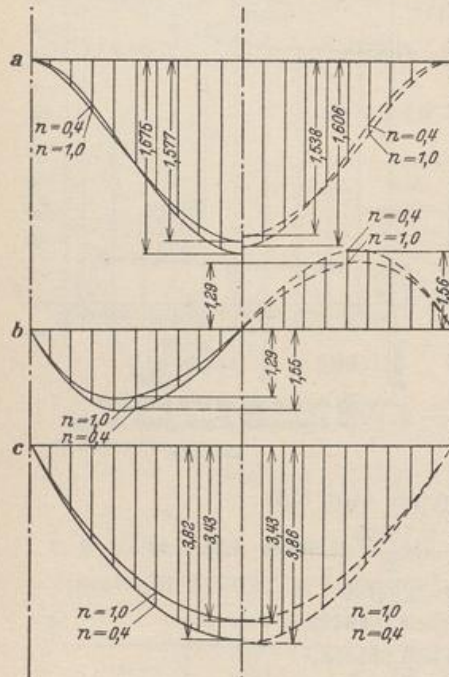


Abb. 524. Einflußlinien  $X_1, X_2, X_3$ .  
 — Die Bogenachse ist eine Kettenlinie.  
 - - - Die Bogenachse ist eine quadratische Parabel.

$$\begin{aligned} \delta_{m2} &= - \frac{1,18072}{6 \cdot 2,14273} 40,999 \xi c \times \\ &\quad \times \left\{ [4,59129 - 6 \cdot 0,15306 (4,32 - 2 \cdot 1,96136)] \right. \\ &\quad \left. - [(\xi c)^2 - 6 \cdot 0,15306 (\mathfrak{Cof} \xi c - 2 \frac{\mathfrak{Sin} \xi c}{\xi c})] \right\} \\ &= - 3,7653165 \xi c [4,22644 - (\xi c)^2 \\ &\quad + 0,91836 \mathfrak{Cof}(\xi c)] + 6,91583 \mathfrak{Sin} \xi c, \end{aligned}$$

$$\begin{aligned} \delta_{m3} &= \frac{1,18072}{2} 40,999 \{ [4,59129 \\ &\quad - 2 \cdot 0,15306 \cdot 4,32] - [(\xi c)^2 - 2 \cdot 0,15306 \mathfrak{Cof} \xi c] \} \\ &= 24,20417 [3,26885 - (\xi c)^2 + 0,30612 \mathfrak{Cof} \xi c], \end{aligned}$$

$$X_1 = \frac{\delta_{m1}}{\delta_{11}} \quad (\text{Abb. 524a}),$$

$$X_2 = \frac{\delta_{m2}}{\delta_{22}} \quad (\text{Abb. 524b}),$$

$$X_3 = \frac{\delta_{m3}}{\delta_{33}} \quad (\text{Abb. 524c}).$$

Die Einflußlinien  $X_1, X_2$  und  $X_3$  für  $n = 1,29$  unterscheiden sich nur sehr wenig von den entsprechenden Werten für  $n = 1,0$ .

5. Schnittkräfte und Randspannungen aus Eigengewicht. Bogenträger  $n = 0,4, q_k - q_s = 8,47$ , daher nach S. 534:

$$\text{a) } H_q = \frac{8,47}{4,12} 40,999 = 84,247 \text{ t}, \quad 1 + \nu = 1,02329.$$

$$\text{b) Längskräfte: } N \approx - \frac{H_q}{1 + \nu} \frac{1}{\cos \alpha} = - 82,330 \frac{1}{\cos \alpha} \quad (\text{Abb. 523}).$$

$$\text{c) Momente: } M = \frac{\nu}{1 + \nu} H_q \cdot y = 1,91746 \cdot y \quad (\text{Abb. 525}).$$

$$\text{d) Randspannungen: } \sigma = \frac{N}{F} \pm \frac{M}{W} \quad (\text{Abb. 527}).$$

6. Schnittkräfte aus halbseitiger Verkehrslast  $p = 1,0 \text{ t/m}^2$ .

a) Belastungszahlen und überzählige Größen  $X_k = \delta_{k0} / \delta_{kk}$ :

$$\begin{aligned} \delta_{10} &= 1,18072 \cdot 1,241 \cdot 40,999 \cdot 1,0 \cdot 13,72 \left[ \frac{4,59129}{3} \left( 1,766786 + \frac{0,15306}{2} \right) \right. \\ &\quad \left. - (1 + 0,270424) (4,32 - 1,96136) + \frac{0,15306}{8} (36,32531 - 8,47320) \right] = 294,652. \end{aligned}$$



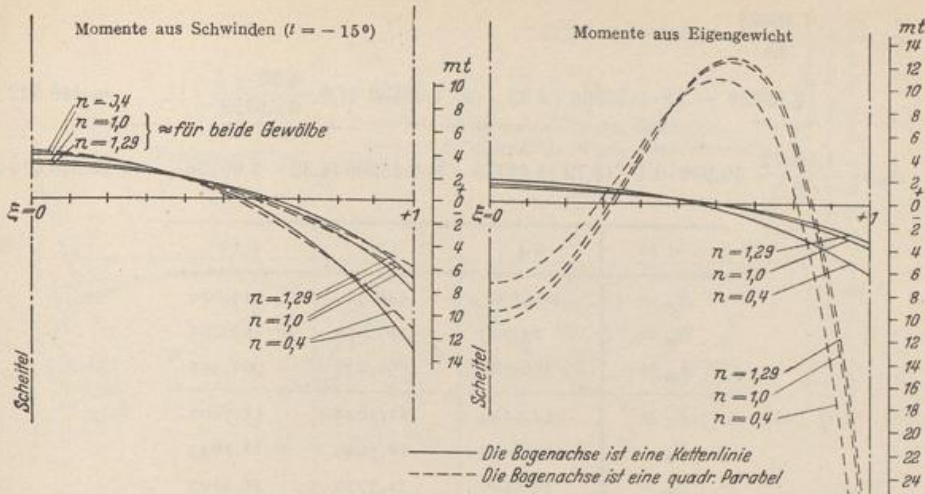


Abb. 525.

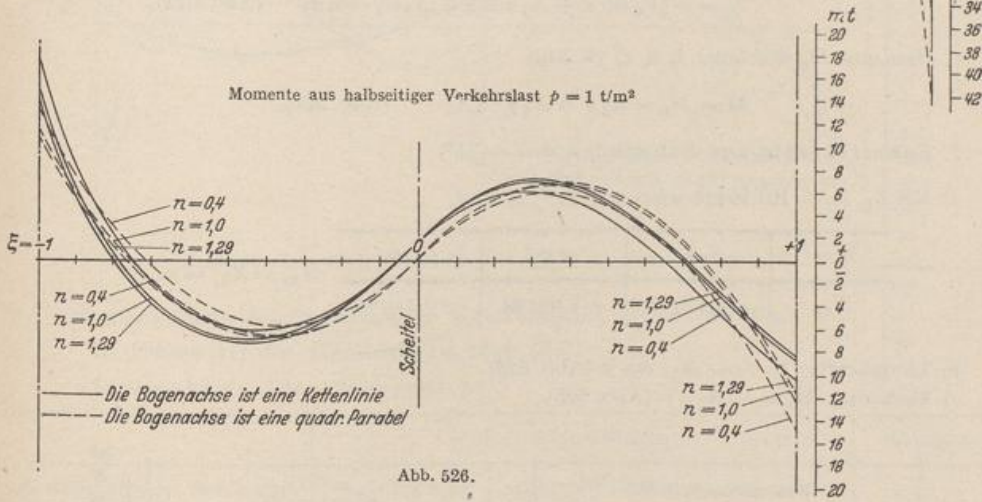


Abb. 526.

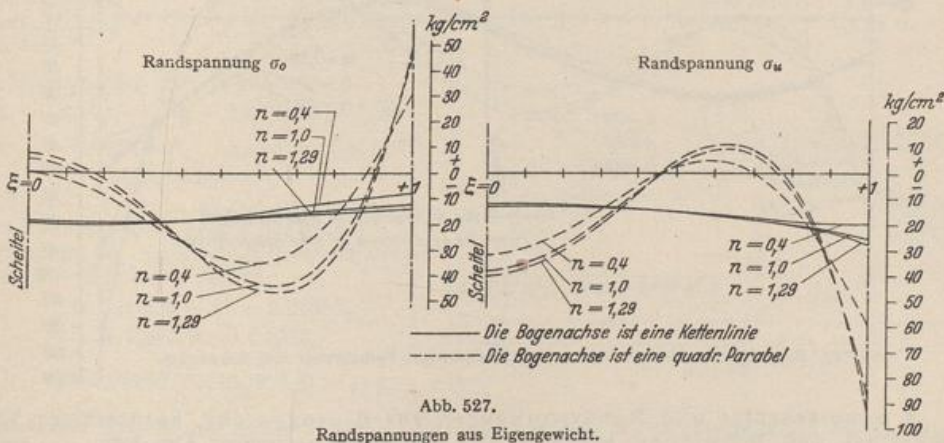


Abb. 527.



$$\delta_{20} = -\frac{1.18072}{24} 40.999 \cdot 1.0 \cdot 13.72 \times \left[ 4.59129 - 12 \cdot 0.15306 \left( 4.32 - 4 \cdot 1.96136 + 6 \frac{4.32 - 1}{4.59129} \right) \right] = 448.922,$$

$$\delta_{30} = \frac{1.18072}{3} 40.999 \cdot 1.0 \cdot 13.72 [4.59129 - 3 \cdot 0.15306 (4.32 - 1.96136)] = 513.079,$$

$n =$	0,4	1,0	1,29
$\delta_{10} =$	294,652	448,922	513,079
$\delta_{20} =$	- 85,723	- 107,610	- 118,193
$\delta_{30} =$	776,681	860,876	901,592
$X_1 =$	11,9144	11,7648	11,7202
$X_2 =$	- 13,8972	- 11,7649	- 11,1643
$X_3 =$	34,2566	31,3730	30,3105

b) Längskräfte  $V_0$  wie unter I, 6, b) (S. 540)

$$N = -[V_0 \sin \alpha + X_1 \cos \alpha + X_2/l_1 \cdot \sin \alpha] \quad (\text{Abb. 523}),$$

c) Momente  $M_0$  wie unter I, 6, c) (S. 540)

$$M = M_0 - X_1 y + X_2 \xi - X_3 \quad (\text{Abb. 526}),$$

7. Schnittkräfte aus Schwinden ( $t = -15^\circ$ ).

a) Mit  $\delta_{1t} = -101,99448$  wie unter I, 7, a) wird:

$n =$	0,4	1,0	1,29	$X_{2t} = X_{3t} = 0.$
$X_{1t}$	- 4,12420	- 2,67294	- 2,32985	

b) Längskräfte:  $N_t = -X_{1t} \cos \alpha$  (Abb. 523).

c) Momente:  $M_t = -X_{1t} \cdot y$  (Abb. 525).

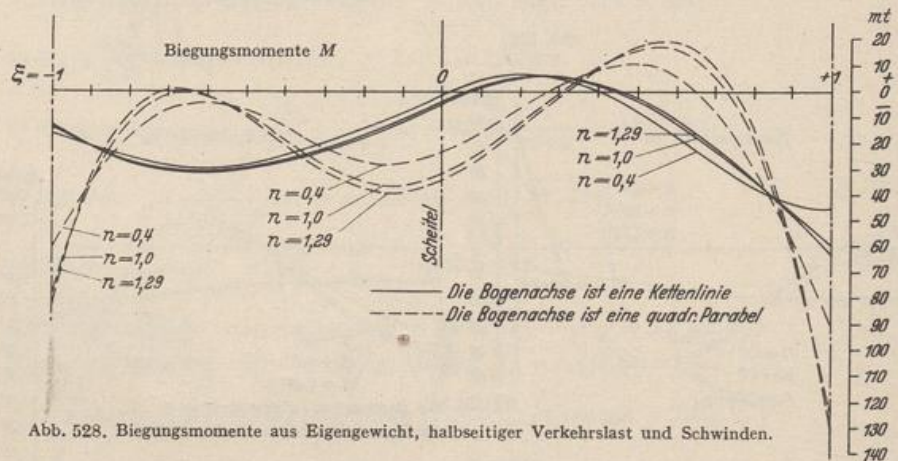


Abb. 528. Biegemomente aus Eigengewicht, halbseitiger Verkehrslast und Schwinden.

8. Schnittkräfte und Randspannungen aus Eigengewicht, halbseitiger Verkehrslast und Schwinden. Momente: Abb. 528, Randspannungen: Abb. 529.



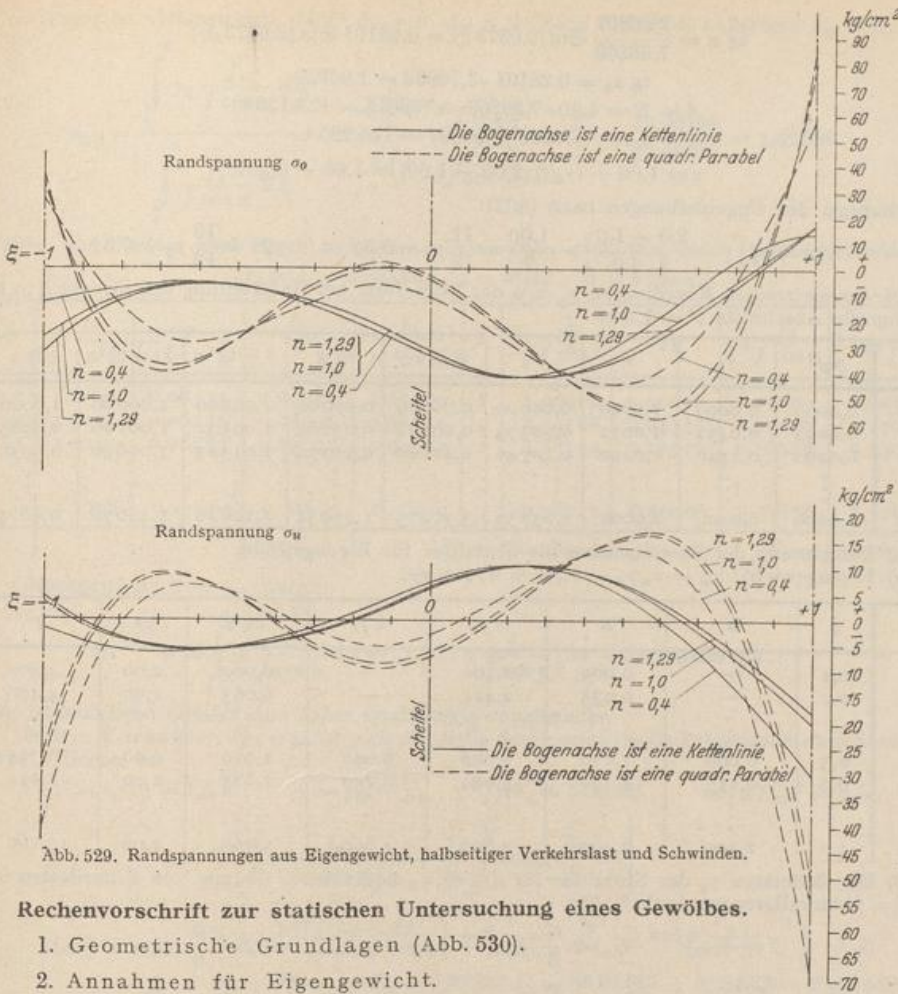


Abb. 529. Randspannungen aus Eigengewicht, halbseitiger Verkehrslast und Schwinden.

Rechenvorschrift zur statischen Untersuchung eines Gewölbes.

1. Geometrische Grundlagen (Abb. 530).
2. Annahmen für Eigengewicht.

		Abmessungen:	Scheitel	Kämpfer
Gewölbe einschl. Isolierung	$\gamma_v = 2,4 \text{ t/m}^3$	senkrecht gemessen	1,00 m	2,00 m
Ausgleichbeton	$\gamma_b = 2,0 \text{ t/m}^3$		0,00 m	2,30 m
Überschüttung	$\gamma_a = 1,8 \text{ t/m}^3$		0,00 m	3,20 m
Fahrbahn	$g_F = 2,0 \text{ t/m}^2$		—	—

Eigengewicht  $q_s = 4,40 \text{ t/m}$ ;  
 $q_k = 17,16 \text{ t/m}$ ;  $\kappa = 17,16/4,4 = 3,90$ .  
 $J_c = J_s = 0,08333 \text{ m}^4$ ,  $J_c/J \cos \alpha$ : Seite 547,  
 $F_c = F_s = 1,0 \text{ m}^2$ .

3. Bogenform: a) Die Bogenachse  $y_2$  wird nach S. 510 in erster Annäherung als Kettenlinie für Eigengewicht angenommen:  $\kappa = 3,90$ ;  $\text{Ein } c = 3,769651$ .

$$y_2^* = 6,0 / (3,9 - 1) = 2,06897;$$

$$c = \text{Ar } \text{Coj } 3,90 = 2,0373;$$

$$y_2 = 2,06897 [\text{Coj } (2,0373 \xi) - 1];$$

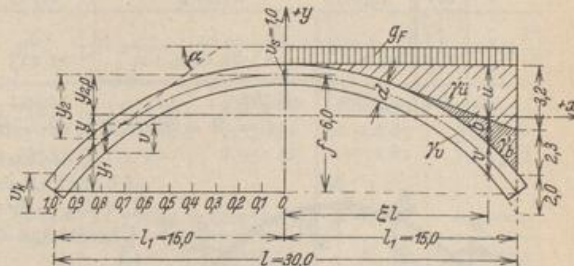


Abb. 530.

angegenäherte Berechnung dieser Funktion mit  $y_2 = 6,0 (y_2/f)$  durch Interpolation der Tabelle S. 512.  $L_1/c = 7,36269$ .



$$\operatorname{tg} \alpha = \frac{2,06897}{7,36269} \operatorname{Sin}(2,0373 \xi) = 0,28101 \operatorname{Sin}(2,0373 \xi);$$

$$\operatorname{tg} \alpha_k = 0,28101 \cdot 3,76962 = 1,05929;$$

$$A = B = 4,40 \cdot 7,36269 \cdot 3,769615 = 122,120 \text{ t};$$

$$H = 4,40 \cdot 7,36269^2 / 2,06897 = 115,285 \text{ t}.$$

$$v = 1,00 + (y_2/f)(2,00 - 1,00) = 1,00 + (y_2/f);$$

Gleichungen der Bogenlaibungen nach (802):

$$y_2^{(v)} = y_2 \left( 1 - \frac{2,0 - 1,0}{2 \cdot 6,0} \right) - \frac{1,00}{2} = \frac{11}{12} y_2 - 0,5; \quad y_2^{(u)} = \frac{13}{12} y_2 + 0,5;$$

Die geometrischen Koordinaten  $y_2, v, \alpha$  der Bogenform bei Unterteilung der Strecke  $l_1$  in 10 gleichgroße Abschnitte  $c' = 1,5 \text{ m}$ :

$\xi$	$y_2/f$	$y_2$	$v$	$c \xi$	$\operatorname{Sin} c \xi$	$\operatorname{tg} \alpha$	$1 + \operatorname{tg}^2 \alpha$	$\sqrt{1 + \operatorname{tg}^2 \alpha}$	$\cos \alpha$
0,0	0,0000	0,0000	1,0000	0,00000	0,00000	0,00000	1,00000	1,00000	1,0000
0,1	0,0072	0,0432	1,0072	0,20373	0,20514	0,05765	1,00332	1,00166	0,9983
0,2	0,0290	0,1740	1,0290	0,40746	0,41883	0,11770	1,01385	1,00690	0,9931
⋮	⋮	⋮	⋮	⋮	⋮	⋮	⋮	⋮	⋮
1,0	1,0000	6,0000	2,0000	2,03730	3,76975	1,05934	2,12220	1,45678	0,6864

b) Berechnung der Gewölbeachse als Stützlinie für Eigengewicht.

a) Eigengewicht:  $q_m = v_m \gamma_v + b_m \gamma_b + \bar{u} \gamma_a + g_F$ ;

$m$	$\xi$	$b$	$\bar{u}$	$v \gamma_v$	$b \gamma_b$	$\bar{u} \gamma_a$	$g_F$	$q$
0	0,1	—	0,000	2,400	—	0,000	2,00	4,400
1	0,2	—	0,035	2,417	—	0,063	2,00	4,480
⋮	⋮	⋮	⋮	⋮	⋮	⋮	⋮	⋮
5	0,5	0,000	1,070	2,868	0,000	1,926	2,00	6,794
6	0,6	0,115	1,490	3,099	0,230	2,682	2,00	8,011
⋮	⋮	⋮	⋮	⋮	⋮	⋮	⋮	⋮
10	1,0	2,300	3,200	4,800	4,600	5,760	2,00	17,160

β) Die Ordinaten  $y_2$  der Stützlinie für die zu  $q_m$  äquivalente Gruppe von Einzellasten  $G_m$  in den Intervallgrenzen nach S. 75:

$$G_1 = \frac{c'}{6} (2q_1 + q_2); \quad G_m = \frac{c'}{6} (q_{m-1} + 4q_m + q_{m+1}); \quad G_n = \frac{c'}{6} (q_{n-1} + 2q_n);$$

$$\bar{V}_{0m} = \sum_0^{m-1} G_m, \quad \bar{M}_{0m} = \sum_0^m (\bar{V}_{0m} \cdot c'), \quad H = \bar{M}_{0,10}/f, \quad y_2 = \bar{M}_{0m}/H.$$

$m$	$\xi$	$q_m$	$q_9 + 2q_{10}$	$2q_1 + q_2$	$G_m$	$\bar{V}_{0m}$	$\bar{V}_{0m} \cdot c'$	$\bar{M}_{0m}$	$y_2$
			$q_{m-1} + 4q_m + q_{m+1}$						
0	0,0	4,400	—	13,280	3,320	0,000	0,000	0,000	0,00000
1	0,1	4,480		27,069	6,767	3,320	4,980	4,980	0,04335
⋮	⋮	⋮		⋮	⋮	⋮	⋮	⋮	⋮
9	0,9	14,042		84,893	21,223	88,316	132,474	524,510	4,56880
10	1,0	17,160	48,362	—	12,091	109,539	164,309	688,819	6,00000

$$A = B = 121,630 \text{ t}; \quad H = 688,819/6,0 = 114,803 \text{ t}.$$

4. Hauptsystem zur Berechnung der statisch überzähligen Größen. Balkenträger auf 2 Stützen  $l = 2l_1 = 30,0 \text{ m}$ .

Überzählige Größen nach S. 523:

$$X_1 = H, \quad X_2 = \frac{1}{2} (Y_a - Y_b), \quad X_3 = \frac{1}{2} (Y_a + Y_b),$$

$$M_1 = +y, \quad M_2 = -\xi, \quad M_3 = 1,$$

$$N_1 = \cos \alpha, \quad N_2 = 1/l_1 \cdot \sin \alpha, \quad N_3 = 0.$$

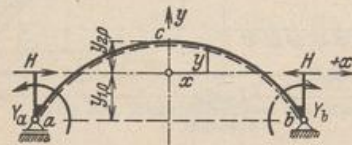


Abb. 581.



Der Träger ist symmetrisch, daher  $\delta_{12} = 0, \delta_{23} = 0$ . Nach S. 523 ist außerdem  $\delta_{13} = 0$ , wenn

$$y_{2,0} = \frac{\int_c^a y_2 \frac{J_c}{J \cos \alpha} dx}{\int_c^a \frac{J_c}{J \cos \alpha} dx} = \frac{\Sigma (\lambda \cdot y_2 \frac{J_c}{J \cos \alpha})}{\Sigma (\lambda \cdot \frac{J_c}{J \cos \alpha})} = \frac{\Sigma_2}{\Sigma_1} = \frac{32,06796}{22,48201} = 1,42638.$$

Zähler und Nenner sind durch numerische Integration nach Simpson (181) entstanden.  
( $J_c = J_s = 0,08333, J = d^2/12, d = v \cos \alpha$ .)

$\xi$	$d$	$J$	$\frac{J_c}{J}$	$\frac{J_c}{J \cos \alpha}$	$\lambda$	$\lambda \cdot \frac{J_c}{J \cos \alpha}$	$y_2$	$y_2 \frac{J_c}{J \cos \alpha}$	$\lambda \cdot y_2 \frac{J_c}{J \cos \alpha}$
0,0	1,0000	0,08333	1,00000	1,00000	1	1,00000	0,00000	0,00000	0,00000
0,1	1,0055	0,08471	0,98375	0,98542	4	3,94168	0,04335	0,04272	0,17088
0,2	1,0219	0,08893	0,93707	0,94357	2	1,88714	0,17516	0,16528	0,33056
⋮	⋮	⋮	⋮	⋮	⋮	⋮	⋮	⋮	⋮
1,0	1,3728	0,21564	0,38645	0,56311	1	0,56311	6,00000	3,37866	3,37866
				$\Sigma_1 =$		22,48201		$\Sigma_2 =$	32,06796

Nachprüfung von  $y_{2,0}$  durch:

$$0 = \int_c^a y \frac{J_c}{J \cos \alpha} dx = \Sigma (\lambda \cdot y \frac{J_c}{J \cos \alpha}) = -0,00003 \approx 0,0.$$

Die überzähligen Größen sind daher unabhängig voneinander.

5. Die Vorzahlen  $\delta_{kk}$  ergeben sich ebenfalls durch numerische Integration nach Simpson (181). Hierbei ist

$$c' = l_1/10 = 1,5 \text{ m}, \quad y = y_{20} - y_2, \quad J_c/F_c = 0,08333, \quad \cos \alpha F_c/F = v_s/v,$$

$$\begin{aligned} \delta_{11} &= 2 \left\{ \int_c^a y^2 \frac{J_c}{J \cos \alpha} dx + \frac{J_c}{F_c} \int_c^a \cos \alpha \frac{F_c}{F} dx \right\} \\ &= 2 \frac{c'}{3} \Sigma (\lambda \cdot y^2 \frac{J_c}{J \cos \alpha}) + 2 \frac{c'}{3} \frac{J_c}{F_c} \Sigma (\lambda \cdot \cos \alpha \frac{F_c}{F}) \\ &= \delta'_{11} + \delta''_{11} = 1,0 \Sigma_4 + 0,08333 \Sigma_5 = 58,01617 + 2,01833 = 60,03450, \end{aligned}$$

$$\delta_{22} = 2 \int_c^a \xi^2 \frac{J_c}{J \cos \alpha} dx = 2 \frac{c'}{3} \Sigma (\lambda \cdot \xi^2 \frac{J_c}{J \cos \alpha}) = 1,0 \Sigma_3 = 6,13492,$$

$$\delta_{33} = 2 \int_c^a \frac{J_c}{J \cos \alpha} dx = 2 \frac{c'}{3} \Sigma (\lambda \cdot \frac{J_c}{J \cos \alpha}) = 1,0 \Sigma_1 = 22,48201.$$

$\xi$	$\xi^2 \frac{J_c}{J \cos \alpha}$	$\lambda$	$\lambda \cdot \xi^2 \frac{J_c}{J \cos \alpha}$	$y$	$y^2$	$y^2 \frac{J_c}{J \cos \alpha}$	$\lambda \cdot y^2 \frac{J_c}{J \cos \alpha}$	$\cos \alpha \frac{F_c}{F}$	$\lambda \cdot \cos \alpha \frac{F_c}{F}$
0,0	0,00000	1	0,00000	1,42638	2,03456	2,03456	2,03456	1,00000	1,00000
0,1	0,00985	4	0,03940	1,38303	1,91277	1,88488	7,53952	0,99285	3,97140
0,2	0,03774	2	0,07548	1,25122	1,56555	1,47721	2,95442	0,97182	1,94364
⋮	⋮	⋮	⋮	⋮	⋮	⋮	⋮	⋮	⋮
1,0	0,56311	1	0,56311	-4,57362	20,91800	11,77913	11,77913	0,50000	0,50000
	$\Sigma_3 =$		6,13492			$\Sigma_4 =$	58,01617	$\Sigma_5 =$	24,21992

6. Die Einflußlinien der überzähligen Größen  $X_k$  werden nach S. 525 als Biegelinien  $\delta_{mk}$  des Balkenträgers berechnet. Hierzu dienen die elastischen Gewichte  $w_{m1}, w_{m2}, w_{m3}$ , die in eine äquivalente Gruppe von Einzelkräften  $\mathfrak{B}_{m,1}, \mathfrak{B}_{m,2}, \mathfrak{B}_{m,3}$  verwandelt werden.



$$\mathfrak{B}_0 = \frac{c'}{24} (w_1 + 10 w_0 + w_{-1}), \quad \mathfrak{B}_{10} = \frac{c'}{24} (7 w_{10} + 6 w_9 - w_8),$$

$$\mathfrak{B}_m = \frac{c'}{12} (w_{m-1} + 10 w_m + w_{m+1}),$$

$$Q_{w,m} = Q_{w,0} + \sum_0^{m-1} \mathfrak{B}_h = A_w - \sum_m^{10} \mathfrak{B}_h, \quad M_{w,(m-1)} = M_{w,m} + Q_{w,m} \cdot c'$$

Der Anteil der Längskräfte an den elastischen Gewichten wird vernachlässigt.

a)  $X_1 = \frac{\delta_{m1}}{\delta_{11}} = \frac{M_w}{60,03450}, \quad w_{m1} = y_m \frac{J_c}{J_m \cos \alpha_m}$  (Abb. 532).

Mit  $\delta_{13} = 2 \int_0^a y \frac{J_c}{J} ds = 0$  und  $\delta_{12} = 2 \int_0^a \xi y \frac{J_c}{J} ds$  ist für  $\xi = 0$ :  $Q_w = 0$  und für  $\xi = \pm 1$

neben  $M_w$  auch  $Q_w = 0$ . Die Einflußlinie besitzt daher für  $\xi = 0$  und  $\xi = \pm 1$  waagerechte Tangenten. Dies kann für  $\frac{d}{dx} (\delta_{m1})$  auch unmittelbar bewiesen werden.

m	$\xi$	(1)	(2)		(3)	(4)	(5)
		$w_{m1}$	$10 w_0 + 2 w_1$	$7 w_{10} + 6 w_9 - w_8$	$\mathfrak{B}'_m$	Verbesserung $\Delta \mathfrak{B}'_m$	$\mathfrak{B}_m$
			$w_{m-1} + 10 w_m + w_{m+1}$				
0	0,0	1,42638	16,98954	—	1,06185	+ 0,00033	1,06218
1	0,1	1,36287	16,23569		2,02946	+ 0,00064	2,03010
⋮	⋮	⋮	⋮		⋮	⋮	⋮
9	0,9	- 1,72804	- 20,97682		- 2,62210	+ 0,00082	- 2,62128
10	1,0	- 2,57545	—	- 27,27542	- 1,70471	+ 0,00053	- 1,70418

$$\sum \mathfrak{B}'_m = \int_0^a y \frac{J_c}{J} ds \neq 0. \text{ Daher Verbesserung um } \Delta \mathfrak{B}'_m = -k |\mathfrak{B}'_m|$$

mit  $k = \frac{\sum_0^{10} \mathfrak{B}'_m}{\sum_0^{10} |\mathfrak{B}'_m|}$   
 $= \frac{-0,00457}{14,62223}$   
 $= -0,00031254.$

m	(6)	(7)	(8)	(9)
	$Q_{w,m}$	$Q_{w,m} \cdot c'$	$M_{w,m}$	$X_1 [t]$
0	0,00000	0,00000	72,88861	1,21411
1	1,06218	1,59327	71,29534	1,18757
⋮	⋮	⋮	⋮	⋮
9	4,32546	6,48819	2,55627	0,04258
10	1,70418	2,55627	0,00000	0,00000

b)  $X_2 = \frac{\delta_{m2}}{\delta_{22}} = \frac{M_w}{6,13492}, \quad w_{m2} = -\xi_m \frac{J_c}{J_m \cos \alpha_m}$  (Abb. 532).

Die Funktion  $w_{m2}$  ist antimetrisch. Daher ist  $M_w$  nicht nur für  $\xi = \pm 1$ , sondern auch für  $\xi = 0$  Null. Die gegenseitige Verdrehung der Endtangente der Biegelinie  $\delta_{m2}$  ist  $\delta_{22}$ .

m	$\xi$	(1)	(2)		(3)	(4)
		$w_{m2}$	$10 w_0$	$7 w_{10} + 6 w_9 - w_8$	$\mathfrak{B}_m$	$\xi \cdot \mathfrak{B}_m$
			$w_{m-1} + 10 w_m + w_{m+1}$			
0	0,0	0,00000	0,00000	—	0,00000	0,00000
1	- 0,1	0,09854	1,17411		0,14676	0,01468
⋮	⋮	⋮	⋮		⋮	⋮
9	- 0,9	0,49493	5,96339		0,74542	0,67088
10	- 1,0	0,56311	—	6,46037	0,40371	0,40377
$A_w =$						3,06767



Da  $w_1 = -w_{-1}$ :

$$\mathfrak{B}_0 = \frac{c'}{24} 10 w_0,$$

$$A_w = \sum_0^{10} (\xi \mathfrak{B}_m),$$

	(5)	(6)	(7)	(8)
$m$	$Q_{w,m}$	$Q_{w,m} \cdot c'$	$M_{w,m}$	$X_2$ [mt]
0	-1,82992	-	0,00000	0,00000
1	-1,82992	-2,74488	2,74488	0,44742
⋮	⋮	⋮	⋮	⋮
9	1,91848	2,87772	3,99585	0,65133
10	2,66390	3,99585	0,00000	0,00000
(a)	(3,06767)			

c)  $X_3 = \frac{\delta_{m3}}{\delta_{33}} = \frac{M_w}{22,48201}$ ,  $w_{m3} = 1 \frac{J_c}{J_m \cos \alpha_m}$ . (Abb. 532).

Die Funktion  $w_{3m}$  ist symmetrisch, daher für  $\xi = 0$ :  $Q_w = 0$ , für  $\xi = \pm 1$ :  $Q_w = \pm \frac{1}{2} \delta_{33}$ . Die Biegelinie erhält in  $\xi = 0$  eine waagerechte Tangente.

$m$	$\xi$	$w_{m3}$	$10 w_0 + 2 w_1$	$7 w_{10} + 6 w_9 - w_8$	$\mathfrak{B}_m$	$Q_{w,m}$	$Q_{w,m} \cdot c'$	$M_{w,m}$	$X_3$ [mt]
0	0,0	1,00000	11,97084	-	0,74818	0,00000	0,00000	94,78360	4,21598
1	0,1	0,98542		11,79777	1,47472	0,74818	1,12227	93,66133	4,16606
⋮	⋮	⋮		⋮	⋮	⋮	⋮	⋮	⋮
9	0,9	0,54992		6,62604	0,82826	9,99538	14,99307	16,23546	0,72215
10	1,0	0,56311	-			10,82364	16,23546	0,00000	0,00000

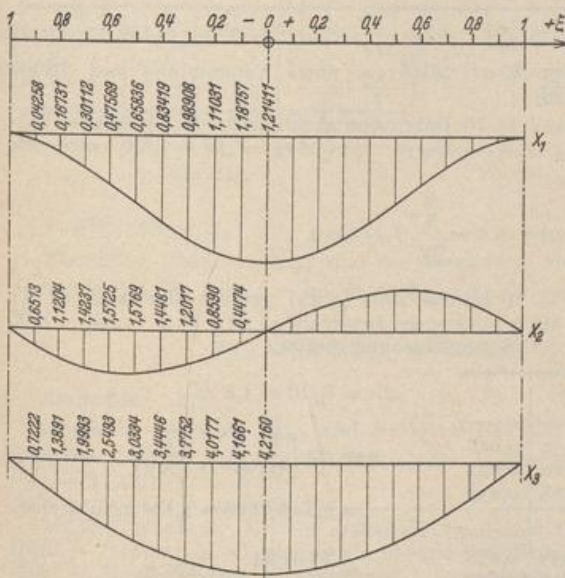


Abb. 532. Einflußlinien  $X_1, X_2, X_3$ .

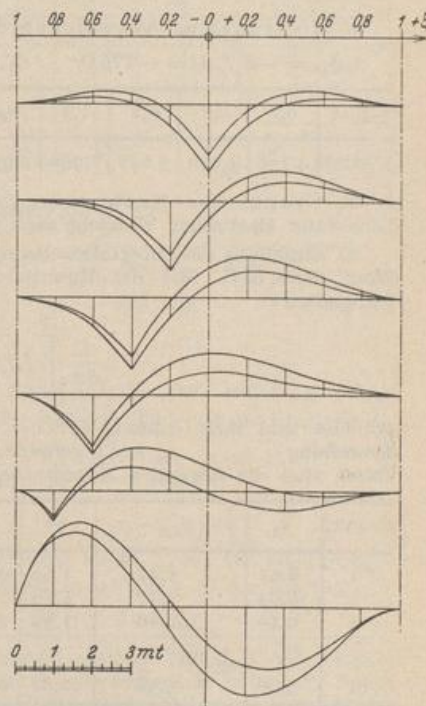


Abb. 533. Einflußlinien für die Kernmomente. Die oberen Linien gelten für die oberen Kernpunkte.

7. Einflußlinie der Schnittkräfte. a) Kernmomente (Abb. 533) im Querschnitt  $m$ :

$$M_m = M_{m0} - X_1 \gamma_m + X_2 \xi_m - X_3,$$



im Scheitel  $c$ :

$$M_c = M_{c0} - X_1 y_{20} - X_3$$

am Kämpfer ( $a$  und  $b$ ):

$$M_a = + X_1 y_{10} - X_2 - X_3$$

$$M_b = + X_1 y_{10} + X_2 - X_3$$

b) Querkräfte:

$$Q_m = Q_{m0} - X_1 \sin \alpha_m + \frac{X_2}{l_1} \cos \alpha_m$$

8. a) Biegemomente aus Eigengewicht (S. 527).

$$v = \frac{\delta''_{11}}{\delta'_{11}} = \frac{2,01833}{58,01617} = 0,03479; \quad X_1 = \Delta H = -\frac{v}{1+v} H_c = -0,03362 H_c$$

Nach Seite 546 ist  $H_c = 114,803$  t. Dabei ist die geringe Abweichung durch Änderung der Bogenform nicht berücksichtigt.

$$H = H_c + X_1 = 114,803 - 3,859 = 110,944 \text{ t}, \quad M = -X_1 y = +3,859 \cdot y \text{ mt.}$$

$\pm \xi =$	0,0	0,1	0,2	0,3	0,4	0,5	0,6	0,7	0,8	0,9	1,0
$M$ [mt]	5,505	5,338	4,829	3,959	2,692	0,976	-1,257	-4,102	-7,675	-12,128	-17,652

Der Einfluß der Längskräfte auf  $\delta_{10}$  ist nach S. 524 klein von zweiter Ordnung, fällt daher in der Rechnung weg.

b) Biegemomente aus Schwinden (S. 524).

$$\alpha_t = 0,00001; \quad t = -15^\circ; \quad \delta_{1t} = E J_c \alpha_t t l = -787,5; \\ \delta_{2t} = \delta_{3t} = 0; \quad X_{1t} = \delta_{1t} / \delta_{11} = -13,117 \text{ t}; \quad M = -X_{1t} \cdot y$$

$\pm \xi =$	0,0	0,1	0,2	0,3	0,4	0,5	0,6	0,7	0,8	0,9	1,0
$M$ [mt]	18,710	18,141	16,412	13,455	9,148	3,318	-4,273	-13,941	-26,083	-41,218	-59,992

c) Horizontales Ausweichen der Widerlager um  $\Delta l = 0,001$  m.

$$\delta_{1s} = -E J_c \Delta l = -175,0; \quad \delta_{2s} = \delta_{3s} = 0; \quad X_{1s} = -2,915 \text{ t}; \quad M = -X_{1s} y$$

$\pm \xi =$	0,0	0,1	0,2	0,3	0,4	0,5	0,6	0,7	0,8	0,9	1,0
$M$ [mt]	4,158	4,032	3,647	2,990	2,032	0,736	-0,949	-3,097	-5,796	-9,159	-13,331

9. Graphische Nachprüfung der Einflußlinien unter Verwendung von Stufen konstanter elastischer Wirkung nach (828).

a) Einteilung des Integrationsbereiches  $l_1$  in 10 Teile  $e$  von gleichbleibender elastischer Wirkung (Abb. 534). Mit der Unterteilung  $\Delta x_1 = \Delta x_2 = \dots = \Delta x_m = \Delta x = l_1/10$  wird die Integralkurve

$$\frac{1}{\Delta x} \int_0^x J_e / J \cos \alpha \cdot dx = \sum_0^x J_e / J \cos \alpha$$

gebildet und ihre Ordinate für  $x = l_1$  in 10 gleiche Teile ( $c/\Delta x$ ) geteilt. Hierdurch ist die Einteilung  $e_1, e_2, \dots, e_{10}$  von  $l_1$  gefunden. Mittelpunkte der Intervalle  $e_m$  sind  $1', 2' \dots m' \dots 10'$ . Ihnen sind die folgenden Koordinaten der Bogenachse zugeordnet:

Punkt	$y_2$	$y = y_{2,0} - y_2$	$y^2$	$\xi$	$\xi^2$
1'	0,01	1,41	1,99	0,032	0,010
2'	0,05	1,37	1,88	0,110	0,012
3'	0,16	1,26	1,59	0,188	0,035
⋮	⋮	⋮	⋮	⋮	⋮
10'	5,00	-3,58	12,82	0,933	0,870
$\Sigma$	14,24	-0,04	25,06	—	2,736

$$\Delta x = l_1/10 = 1,5 \text{ m.}$$

$$c = \Delta x \left[ \frac{1}{10} \sum_0^b \frac{J_e}{J \cos \alpha} \right] = 1,5 \cdot 0,7496 = 1,124 \text{ m (Abb. 534).}$$

$$y_{2,0} = \frac{2 \cdot 14,24}{2 \cdot 10} = 1,424 \text{ m.}$$

$$\delta'_{11} = 2 \cdot 1,124 \cdot 25,06 = 56,35, \quad \delta''_{11} = 2,02 \text{ (S. 525)*}, \quad \delta_{11} = \delta'_{11} + \delta''_{11} = 58,37$$

\* Der Anteil  $\delta''_{11}$  kann auch nach den Angaben der S. 514 berechnet werden.



Mit  $\frac{\sin^2 \alpha}{\cos \alpha} \approx 0$  wird

$$\delta_{22} = 2 \cdot 1,124 \cdot 2,736 = 6,153, \quad \delta_{33} = 2 \cdot 10 \cdot 1,124 = 22,49.$$

b) Einflußlinie  $X_1$ :

Verwendung der  $(1/c)$ fachen  $\mathfrak{B}$ -Gewichte; Elastische Gewichte  $\mathfrak{B}_{m1}/c = \overline{\mathfrak{B}}_{m1}$  sind die Ordinaten  $y$  in den Punkten  $1', 2' \dots m'$ . Mit  $H_{11} = \delta_{11}/c$  Einheiten des  $\overline{\mathfrak{B}}_{m1}$  ist 1 m im Maßstab der Zeichnung der Maßstab für 1 t der Einflußlinie. Um die Einflußlinie auf den 5fachen Betrag zu vergrößern, wird daher  $H_{11} = 58,37/(5 \cdot 1,124) = 10,39$  aufgetragen.

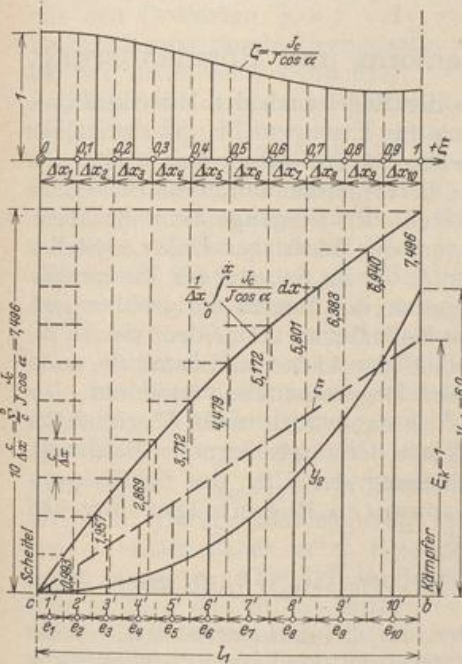


Abb. 534.

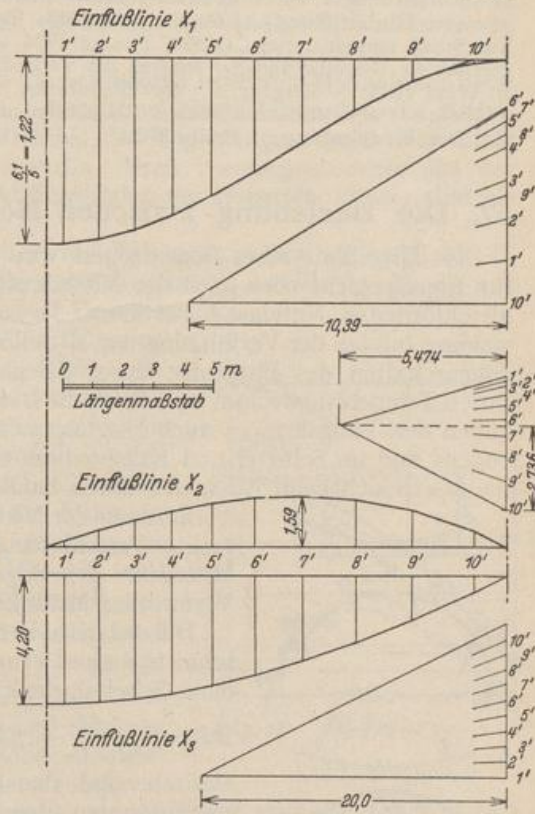


Abb. 535.

c) Einflußlinie  $X_2$ :

Elastische Gewichte  $\overline{\mathfrak{B}}_{m2}$  sind die Abszissen  $\xi$  der Punkte  $1', 2' \dots m'$ . Mit  $H_{11} = \delta_{22}/c$  Einheiten des  $\overline{\mathfrak{B}}_{m2}$  ist 1 m im Maßstab der Zeichnung der Maßstab für 1 m/t der Einflußlinie.

$$H_{11} = 6,153/1,124 = 5,474; \quad A_{11} = \sum_{i=1}^n \xi^2 = 2,736.$$

Einflußlinie  $X_3$ :

Elastische Gewichte  $\overline{\mathfrak{B}}_{m3}$  sind die Werte  $l$  in den Punkten  $1', 2' \dots m'$ . Mit  $H_{11} = \delta_{33}/c$  Einheiten des  $\overline{\mathfrak{B}}_{m3}$  ist 1 m im Maßstab der Zeichnung der Maßstab für 1 m/t der Einflußlinie.  $H_{11} = 22,49/1,124 = 20,0$ .

Müller-Breslau, H.: Die graphische Statik der Baukonstruktionen. Bd. 2, 2. Abt. Leipzig 1908. — Ritter, M.: Beiträge zur Theorie und Berechnung vollwandiger Bogenträger. Berlin 1909. — Schönhöfer, R.: Statische Untersuchung von Bögen und Wölbtragwerken. Berlin 1911. — Gaber, E.: Bau und Berechnung gewölbter Brücken und ihre Lehrgerüste. Berlin 1914. — Schächterle, K.: Beiträge zur Berechnung der im Eisenbetonbau üblichen elastischen Bogen und Rahmen. Berlin 1914. — Färber: Statische Berechnung von Gewölben. Dtsch. Bauztg. 1915 S. 156. — Derselbe: Rasche Ermittlung der Formen und Normalkräfte von



Gewölben. Dtsch. Bauztg. 1915 S. 6. — Schürch, H.: Wärmeeinfluß und Wärmebeobachtungen bei Betongewölben. Arm. Beton 1916. — Hawranek, A.: Berechnung von Bogenbrücken bei räumlichem Kraftangriff. Beton u. Eisen 1918. — Derselbe: Nebenspannungen von Eisenbetonbogenbrücken. Berlin 1919. — Straßner, A.: Neuere Methoden zur Statik der Rahmentragwerke und der elastischen Bogenträger Bd. 2. Berlin 1921. — Neumann, G.: Bogenform und Momentenbild. Beton u. Eisen 1922. — Pirlet, J.: Kompendium der Statik der Baukonstruktionen Bd. 2. Berlin 1923. — Proksch, E.: Beitrag zur Querschnittsbemessung der Betongewölbe. Beton u. Eisen 1923. — Derselbe: Der Einfluß elastischer Widerlager auf den eingespannten Bogen. Beton u. Eisen 1923. — Craemer, H.: Der Einfluß einseitig verschieden-schwerer Hinterfüllung auf elastische Gewölbe. Beton u. Eisen 1924. — Kasarnowsky, S.: Zur Statik eingespannter Gewölbe. Bauing. 1924. — Hartmann, F.: Die genauere Berechnung gelenkloser Gewölbe und der Einfluß des Verlaufs der Achse und der Gewölbstärke. Leipzig u. Wien 1925. — Kögler, F.: Gewölbetabellen, 2. Aufl. Berlin 1928. — Gesteschi, Th., u. J. Melan: Bogenbrücken. Handb. f. Eisenbetonbau Bd. 11 4. Aufl. Berlin 1932. — Bergdorfer, E.: Der Eingelenkbogen. Berlin 1929.

## 57. Die Beziehung zwischen Bogenform und Formänderung.

Die Mittellinie eines Bogenträgers wird in der Regel nach der Mittelkraftlinie für Eigengewicht oder nach der Mittelkraftlinie für Eigengewicht und der halben gleichförmigen Nutzlast  $p$  bestimmt. Diese Form ändert sich jedoch mehr oder weniger infolge der Verkürzung der Mittellinie, hervorgerufen durch die elastischen Eigenschaften des Baustoffs, durch die physikalischen Vorgänge beim Erhärten, durch Temperaturwechsel und durch die Bewegung der Widerlager. Daher entstehen neben den Längskräften auch Biegemomente, die im Scheitel des Zweigelenkbogens und im Scheitel und Kämpfer des eingespannten Bogens am größten sind. Sie lassen sich beim Ausrüsten durch bauliche Maßnahmen vermeiden, welche die

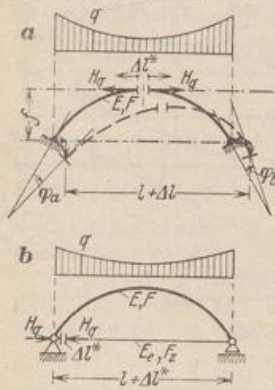


Abb. 536.

Verkürzung der Mittellinie ausgleichen und damit die senkrechte Verschiebung des Bogenscheitels verhindern. Die Mittellinie des Bogens ist dann auch nach Abschluß der Verformung Mittelkraftlinie der ausgezeichneten Belastung.

Die relative Verschiebung der Ufer des Scheitelquerschnitts  $c$  eines eingespannten Bogenträgers mit und ohne Scheitelgelenk ist

$$\Delta l^* = H_q \int \frac{ds}{EF} - \alpha_t t l + \Delta l - f(\varphi_a - \varphi_b). \quad (\text{Abb. 536a}) \quad (850)$$

Danach sind die Ufer des Scheitelquerschnitts  $c$  eines eingespannten Bogenträgers mit und ohne Scheitelgelenk beim Ausrüsten um den Betrag  $\Delta l^*$  gegenseitig zu entfernen. Der Anteil aus der Verdrehung der Widerlager fällt beim Zweigelenkbogen weg. Die relative Verschiebung der Ufer des Anschlußquerschnitts des Zuggliedes eines Zwei-

gelenkbogens ist mit  $(l + \Delta l^*) > l$

$$- \Delta l^* = H_q \int \frac{ds}{EF} - \alpha_t t l + \frac{H_q l}{E_t F_z}, \quad (\text{Abb. 536b}) \quad (851)$$

um die Biegemomente aus der Längenänderung von Bogen und Zugglied zu vermeiden.

Der Ausgleich wird beim Ausrüsten des beiderseits eingespannten Bogenträgers durch Druckpressen erreicht, welche im Bogenscheitel eingebaut werden. Sie liegen beim Ausrüsten des Zweigelenkbogens mit Zugband hinter dem Bogenkämpfer, um hier zunächst die Längskraft des relativ zum Bogenträger beweglichen Zuggliedes aufzunehmen und diesem zuzuführen. Dabei wird die Reckung des Zuggliedes und die Verkürzung des Bogenträgers ausgeglichen, so daß in der Fahrbahn keine Nebenspannungen aus der Formänderung der Hauptträger durch Eigengewicht entstehen (Beispiel S. 519).